

УДК 543.054;543.423.1

# ОПТИМИЗАЦИЯ УСЛОВИЙ МИКРОВОЛНОВОЙ ПРОБОПОДГОТОВКИ В АНАЛИЗЕ ФЕРРОВАНАДИЯ И ФЕРРОНИОБИЯ МЕТОДОМ АТОМНО-ЭМИССИОННОЙ СПЕКТРОМЕТРИИ С ИНДУКТИВНО-СВЯЗАННОЙ ПЛАЗМОЙ

© И. И. Черникова, Е. А. Томилина, В. А. Кукина, Т. Н. Ермолаева<sup>1</sup>

*Статья поступила 13 мая 2016 г.*

Описаны методики определения V, Si, Al, P, Mn, Cu, Cr в феррованадии и Nb, Si, Al, P, Ti, Ta, Sn в феррониобии методом атомно-эмиссионной спектрометрии с индуктивно-связанной плазмой (АЭС-ИСП) с использованием микроволновой пробоподготовки. Установлены составы реакционных смесей для вскрытия проб ферросплавов и параметры микроволнового разложения в автоклавах. Правильность определения элементов подтверждена путем анализа стандартных образцов и сопоставлением с данными, полученными стандартными методами. Разработанные методики характеризуются высокой прецизионностью и позволяют более чем в три раза сократить продолжительность анализа.

**Ключевые слова:** феррованадий; феррониобий; микроволновый нагрев; атомно-эмиссионная спектрометрия с индуктивно-связанной плазмой.

Ферросплавы широко применяют в металлургическом производстве для легирования высококачественных сталей [1]. Введение ниобия способствует повышению жаропрочности и жаростойкости, увеличению сопротивления интеркристаллитной коррозии стали [2], а ванадий уменьшает склонность к перегреву конструкционных сталей, повышает их прочность, не уменьшая при этом пластичности и ударной вязкости [3].

Кроме основных элементов, в феррованадии (FeV) и феррониобии (FeNb) нормируется содержание C, S, Si, Al, P, Mn, Cu, Cr и C, S, Si, Al, P, Ti, Ta, Sn, влияющих на качество и механические свойства стали соответственно. Так, например, титан, поглощая азот, уменьшает пластичность стали; фосфор, растворяясь в феррите, повышает ее хрупкость; марганец, образуя с серой сульфид марганца, снижает ее пластичность и вязкость, а медь и олово негативно влияют на качество поверхности стали при горячей обработке [2, 4]. Поэтому для анализа феррониобия и феррованадия наиболее перспективными являются многоэлементные методы анализа, такие как АЭС-ИСП.

В настоящее время в лабораториях металлургических предприятий используют методики АЭС-ИСП анализа ферросплавов, позволяющие определять не все нормируемые элементы (Si, Al, Mn, Cu в феррованадии и Si, Al, Ti в феррониобии) [5, 6]. В соответствии с указанными методиками растворение образцов феррованадия проводят в открытой системе, а в случае феррониобия используют микроволновую

подготовку проб. Для определения же остальных нормируемых элементов рекомендуются более длительные одноэлементные методы анализа — титриметрические (для определения V в FeV), гравиметрические (для определения суммарного количества Nb + Ta в FeNb), спектрофотометрические (P в FeV и P, Sn в FeNb) и атомно-абсорбционные (Cr в FeV) [7 – 12]. Таким образом, анализ феррованадия занимает примерно 26 ч, феррониобия — 48 ч. Общая продолжительность анализа ферросплавов, как правило, ограничивается стадией пробоподготовки. Вследствие гетерофазной структуры ферросплавов необходимо перед анализом переводить пробы в раствор. При использовании стандартных методик для растворения феррованадия и феррониобия требуются большие объемы кислот, а при определении фосфора и олова дополнительно рекомендуется сплавление. Для интенсификации процессов растворения перспективны методы разложения в автоклавах с применением микроволнового нагрева [13 – 15], повышающие производительность и экономичность анализа при определении всех требуемых элементов в одной пробе методом АЭС-ИСП [16 – 18]. При этом упрощается состав и минимизируется объем реакционной смеси и, как результат, уменьшается количество внесенных загрязнений, а применение закрытых автоклавов исключает потери летучих компонентов.

Цель настоящей работы — оптимизация условий микроволновой подготовки при определении V, Si, Al, P, Mn, Cu, Cr в феррованадии и Nb, Si, Al, P, Ti, Ta, Sn в феррониобии методом АЭС-ИСП для проведения

<sup>1</sup> Липецкий государственный технический университет, г. Липецк, Россия; e-mail: nsonso@yandex.ru

входного контроля на предприятиях металлургической промышленности.

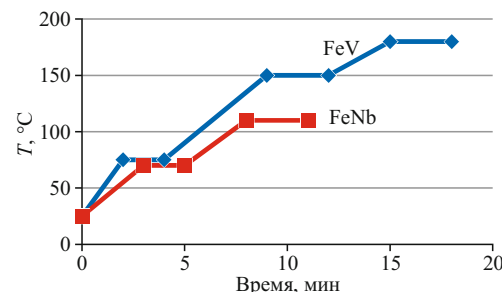
В качестве объектов исследования использованы следующие ферросплавы: феррованадий марок FeV80, ФВд40УО75; феррониобий марок ФН658, FERRONIOBIUM. Для контроля правильности определения нормируемых элементов применяли стандартные образцы феррованадия EURONORM-ZRM Nr 591-1; EURO-CRM 579-1 и феррониobia ЕURO-NORM-CRM 576-1.

Разложение проб ферросплавов проводили с применением азотной, серной (квалификации осч), хлороводородной, фтороводородной (квалификации хч) кислот («Реахим», Россия).

Переведение проб в раствор осуществляли с помощью микроволновой системы «Milestone High Performance Microwave Labstation ETHOS PLUS» (Италия) с роторными автоклавами высокого давления НРР-1000/10S (внутренний объем — 100 см<sup>3</sup>, рабочее давление — 100 атм). Навеску предварительно измельченного ферросплава (0,1000 г) переносили во фторопластовый стаканчик автоклава и после добавления реагентов для вскрытия пробы помещали в кожух, закрывали тефлоновыми крышками, устанавливали в сегмент ротора и герметизировали с помощью динамометрического ключа. Сегменты ротора с автоклавами размещали в микроволновой системе для разложения.

Анализ ферросплавов проводили с использованием атомно-эмиссионного спектрометра с индуктивно-связанной плазмой iCAP 6500 Duo (Thermo Fisher Scientific, США).

С целью выбора условий пробоподготовки варьировали качественный и количественный состав реакционной смеси для разложения проб, а также парамет-



Температурно-временные параметры микроволнового нагрева при разложении проб феррониobia и феррованадия

ры микроволнового нагрева. Вследствие использования для растворения проб закрытых автоклавов значительное внимание уделяли минимизации объемов использованных кислотных смесей, чтобы исключить вероятность разгерметизации и обеспечить относительно невысокий солевой фон раствора. Поэтому при проведении исследований суммарный объем реакционной смеси не превышал 6 см<sup>3</sup>.

Выбор состава кислотных смесей, обеспечивающих полное разложение ферросплавов, осуществляли экспериментально с применением стандартных образцов феррованадия и феррониobia при температурах 100, 150 и 200 °C, визуально контролируя полноту разложения проб и определяя в них нормируемые элементы методом АЭС-ИСП.

Для растворения феррониobia применяли кислотную смесь, содержащую 4 мл HNO<sub>3</sub> и 2 мл HF, позволяющую повысить интенсивность разложения силицидов и карбидов, присутствующих в пробе. Введение в смесь фтороводородной кислоты способствует количественному переведению в раствор ниobia и тантала в виде фторидных комплексов. Предва-

Таблица 1. Условия АЭС-ИСП анализа проб ферросплавов

Определяемый элемент	Объект анализа	Длина волны аналитической линии, нм	Параметры градуировочной функции		Диапазон градуировки, % масс.
			b	a	
<b>Определение матричных компонентов, <math>I_{\text{отн}} = bC + a</math>, фактор разбавления 1:10 000</b>					
V	FeV	214,009	0,2	—	0 – 85,0
Nb	FeNb	313,079	0,6	0,1	0 – 70,0
<b>Определение примесных компонентов, <math>I = bC + a</math>, фактор разбавления 1:1000</b>					
Si	FeV	251,611	2437	—	0 – 2,00
	FeNb		1932	82	0 – 5,0
Al	FeV	396,153	1490	0,4	0 – 4,00
	FeNb		3446	72	0 – 5,0
P	FeV	178,284	28 287	15	0 – 0,10
	FeNb		78	0,8	0 – 0,20
Mn	FeV	293,306	4563	—	0 – 5,0
Cu	FeV	324,754	8185	1	0 – 0,20
Cr	FeV	267,716	5777	7	0 – 2,00
Ti	FeNb	337,279	17 709	581	0 – 5,0
Ta	FeNb	226,230	1644	—	0 – 5,0
Sn	FeNb	189,989	539	—	0 – 0,50

рительная оценка результатов определения элементов в стандартных образцах методом АЭС-ИСП после микроволнового разложения при непрерывном нагревании показала, что полное переведение в раствор феррониобия достигается при температуре 150 °C.

Для растворения проб феррованадия в открытых системах при определении Si, Al, Mn и Cu рекомендуется кислотная смесь на основе хлороводородной и азотной кислот [5], а при определении V, P и Cr в смесь дополнительно включают серную и фтороводородную кислоты [7, 9, 12]. Экспериментальные исследования показали, что при растворении феррованадия в автоклаве в условиях микроволнового нагрева можно исключить из смеси серную кислоту, которая может способствовать образованию осадка кремниевой кислоты и, следовательно, потерям кремния, и уменьшить содержание фтороводородной кислоты. Поскольку в феррованадии содержание углерода не превышает 1 %, возможно также и уменьшение содержания азотной кислоты в кислотной смеси. Полное количественное переведение в раствор феррованадия наблюдается при применении смеси 3 мл HCl, 1,5 мл HNO<sub>3</sub> и 0,5 мл HF при непрерывном нагреве до 200 °C, что связано с присутствием в исследуемых образцах трудно разлагаемых соединений марганца и хрома.

На полноту растворения ферросплавов существенно влияет режим увеличения температуры в автоклаве — резкое увеличение температуры приводит к существенному увеличению давления внутри него и разгерметизации, что сопровождается потерей летучих компонентов, а медленный нагрев увеличивает продолжительность пробоподготовки. Поэтому нагрев проб ферросплавов осуществляли в несколько этапов

(см. рисунок). Продолжительность достижения промежуточных температур варьировали от 1 до 5 мин в зависимости от получаемых результатов. Затем для поддержания постоянного давления в автоклаве пробу выдерживали при этой температуре в течение 2–3 мин, что позволило снизить максимальную температуру нагрева при растворении феррованадия с 200 до 180 °C, а при растворении феррониобия — со 150 до 110 °C. Анализ температурно-временных параметров нагрева показал, что разложение феррониобия занимает 11 мин (см. рисунок) при двукратном подъеме температуры со скоростью 23 °C/мин и выдерживания при 70 °C в течение 2 мин, а при 110 °C — 3 мин. Для разложения проб феррованадия оптимальным является трехстадийный нагрев: до 100 °C со скоростью 25 °C/мин и уменьшение скорости нагрева на последующих стадиях до 15 и 10 °C/мин соответственно, что способствует полному переведению образца в раствор (см. рисунок).

Длины волн выбранных аналитических линий для определения элементов методом АЭС-ИСП приведены в табл. 1. Главным критерием выбора являлось значение интенсивности аналитического сигнала, а также отсутствие значимых спектральных наложений. Так, при анализе феррованадия влияние V (251,612 нм), Fe (251,625 нм) и Mo (251,611 нм) на результаты определения Si (251,611 нм) оказалось незначимым вследствие малых значений интенсивности линий мешающих элементов, а при анализе феррониобия W (226,230 нм) не мешает определению Ta (226,230 нм) из-за невысоких содержаний вольфрама в пробе.

**Таблица 2.** Результаты анализа CO FeV и FeNb ( $n = 11; P = 0,95$ )

Определяемый элемент	Объект анализа	CO	Содержание, % масс.		$s_r$	$t_{\text{эксп}}$
			аттестованное	найденное		
V	FeV	591-1	79,72	$79,97 \pm 0,42$	0,008	1,97
		579-1	47,32	$47,15 \pm 0,26$	0,008	2,17
Nb	FeNb	576-1	62,87	$63,02 \pm 0,29$	0,007	1,72
		591-1	0,847	$0,832 \pm 0,024$	0,04	2,07
Si	FeV	579-1	1,89	$1,92 \pm 0,05$	0,04	1,99
		576-1	1,04	$1,06 \pm 0,04$	0,06	1,66
Al	FeV	591-1	3,19	$3,25 \pm 0,09$	0,04	2,21
		576-1	1,86	$1,90 \pm 0,07$	0,05	1,90
P	FeV	591-1	0,0299	$0,0303 \pm 0,0011$	0,05	1,21
		579-1	0,093	$0,091 \pm 0,003$	0,05	2,21
Mn	FeNb	576-1	0,064	$0,063 \pm 0,002$	0,05	1,66
		591-1	0,307	$0,312 \pm 0,007$	0,03	1,52
		579-1	0,365	$0,369 \pm 0,005$	0,02	1,89
Cu	FeV	591-1	0,0596	$0,0601 \pm 0,0020$	0,05	0,83
Cr	FeV	579-1	0,289	$0,293 \pm 0,007$	0,04	1,90
Ti	FeNb	576-1	0,567	$0,574 \pm 0,012$	0,03	1,93
Ta	FeNb	576-1	3,85	$3,88 \pm 0,05$	0,02	1,99
Sn	FeNb	576-1	0,344	$0,347 \pm 0,007$	0,03	1,42

Для определения ванадия и ниобия в пробах ферросплавов использовали метод внутреннего стандарта, который позволяет существенно повысить прецизионность результатов анализа. Была изучена возможность применения Cd ( $\lambda = 214,438$  нм) и Y ( $\lambda = 224,906$  нм) в качестве внутренних стандартов при анализе ферросплавов. Относительное стандартное отклонение при определении ванадия в СО EURO-

NORM-ZRM Nr 591-1 с применением внутреннего стандарта снизилось с 0,015 до 0,004 (кадмий) и 0,001 (иттрий), а при определении ниобия в СО EUROP-NORM-CRM 576-1 — с 0,088 до 0,003 (Cd) и 0,017 (Y). Поэтому при определении ванадия было рекомендовано применять в качестве внутреннего стандарта иттрий, а при определении ниобия — кадмий.

**Таблица 3.** Результаты определения элементов в FeV и FeNb стандартными методами по ГОСТ и по разработанным методикам ( $n = 11$ ;  $P = 0,95$ ;  $t_{\text{табл}} = 2,23$ ;  $F_{\text{табл}} = 2,98$ )

Образец	Стандартный метод*		АЭС-ИСП		$t_{\text{эксп}}$	$F_{\text{эксп}}$
	$\bar{x} \pm \Delta$ , % масс.	$s_r$	$\bar{x} \pm \Delta$ , % масс.	$s_r$		
<b>Ванадий</b>						
FeV80	79,2 ± 0,4	0,008	79,5 ± 0,4	0,008	0,95	1,16
ФВдУО45	47,0 ± 0,3	0,009	47,1 ± 0,3	0,009	0,59	1,07
<b>Суммарное содержание ниобия и tantalа</b>						
ФН658	57,1 ± 0,3	0,008	Nb: 56,9 ± 0,3	0,007	0,55	1,23
			Ta: 0,242 ± 0,005	0,03		
Ferroniobium	66,2 ± 0,5	0,01	Nb: 65,8 ± 0,4	0,009	1,06	1,64
			Ta: 0,453 ± 0,009	0,03		
<b>Кремний</b>						
FeV80	0,87 ± 0,03	0,05	0,88 ± 0,03	0,05	0,51	1,15
ФВдУО45	1,75 ± 0,05	0,04	1,77 ± 0,05	0,04	0,69	1,09
ФН658	0,82 ± 0,02	0,03	0,81 ± 0,02	0,04	0,91	1,00
Ferroniobium	0,70 ± 0,02	0,04	0,69 ± 0,02	0,04	1,36	1,11
<b>Алюминий</b>						
FeV80	1,06 ± 0,04	0,06	1,03 ± 0,03	0,05	1,33	1,33
ФВдУО45	0,102 ± 0,003	0,04	0,104 ± 0,003	0,04	1,05	1,00
ФН658	2,75 ± 0,08	0,04	2,72 ± 0,08	0,04	0,61	1,14
Ferroniobium	1,22 ± 0,04	0,04	1,24 ± 0,04	0,04	0,90	1,00
<b>Фосфор</b>						
FeV80	0,045 ± 0,002	0,05	0,046 ± 0,002	0,05	0,43	1,15
ФВдУО45	0,055 ± 0,002	0,05	0,055 ± 0,002	0,04	0,19	1,44
ФН658	0,139 ± 0,002	0,02	0,138 ± 0,002	0,02	0,55	1,00
Ferroniobium	0,145 ± 0,002	0,02	0,146 ± 0,002	0,02	0,35	1,31
<b>Марганец</b>						
FeV80	1,85 ± 0,04	0,03	1,82 ± 0,04	0,03	1,26	1,31
ФВдУО45	2,91 ± 0,05	0,02	2,89 ± 0,05	0,02	0,66	1,18
<b>Медь</b>						
FeV80	0,073 ± 0,002	0,05	0,072 ± 0,002	0,05	0,55	1,19
ФВдУО45	0,196 ± 0,005	0,04	0,192 ± 0,004	0,03	1,39	1,56
<b>Хром</b>						
FeV80	0,244 ± 0,007	0,04	0,245 ± 0,006	0,04	0,25	1,06
ФВдУО45	0,229 ± 0,006	0,03	0,224 ± 0,006	0,04	1,38	1,15
<b>Титан</b>						
ФН658	0,43 ± 0,01	0,03	0,44 ± 0,01	0,03	0,83	1,23
Ferroniobium	0,86 ± 0,01	0,02	0,86 ± 0,01	0,02	0,90	1,00
<b>Олово</b>						
ФН658	0,0132 ± 0,0004	0,05	0,0135 ± 0,0004	0,04	1,26	1,31
Ferroniobium	0,068 ± 0,002	0,03	0,068 ± 0,002	0,03	0,65	1,15

\* В FeV ванадий определяли потенциометрически (ГОСТ 13217.1); кремний — гравиметрически (ГОСТ 13217.4); хром — титриметрически (ГОСТ 13217.8); алюминий — атомно-абсорбционным методом (ГОСТ 13217.7); фосфор, марганец и медь — фотометрическим методом (ГОСТ 13217.5, 13217.6, 13217.9); в FeNb суммарную концентрацию ниобия и tantalа, кремний — гравиметрически (ГОСТ 15933.5, 15933.4); алюминий — комплексонометрическим титрованием (ГОСТ 15933.7); фосфор, титан и олово — фотометрическим методом (ГОСТ 15933.3, 15933.8, 15933.14).

При выборе параметров атомно-эмиссионного спектрометра по отношению интенсивностей линий Mg II 280,270 нм и Mg I 285,213 нм [19, 20] оценили устойчивость плазмы при варьировании высокочастотной мощности от 750 до 1300 Вт и потока распылителя от 0,25 до 0,75 л/мин. Было установлено, что при мощности 950 Вт и скорости потока распылителя 0,5 л/мин отношение интенсивностей линий магния  $>10$ , что свидетельствует о минимизации неспектральных матричных эффектов.

Для построения градуировочных графиков измеряли абсолютные (для примесных элементов) и относительные (для матричных элементов) интенсивности излучения в контрольном и пяти модельных растворах (см. табл. 1). Экспериментально установлено, что при определении матричных элементов в ферросплавах зависимость относительной интенсивности спектральных линий от концентрации становится линейной при разбавлении 1:10 000 ( $r > 0,999$ ), а при определении примесных компонентов максимальное значение коэффициента корреляции ( $r \geq 0,998$ ) линейной зависимости абсолютной интенсивности от концентрации наблюдается при разбавлении пробы 1:1000 (см. табл. 1).

Правильность определения нормируемых элементов оценивали путем анализа СО. Сопоставление рассчитанных значений критерия Стьюдента  $t_{\text{эксп}}$  с табличным значением  $t_{\text{табл}} = 2,23$  указывает на отсутствие систематической погрешности [21] и позволяет сделать вывод об отсутствии потерь на стадии подготовки пробы (табл. 2).

Разработанные методики анализа феррованадия и феррониобия были применены для анализа реальных производственных образцов ферросплавов (табл. 3). Результаты анализа сопоставлены с данными, полученными стандартными методами. Применение критерия Фишера не выявило значимых расхождений

дисперсий, а проверка правильности определения по модифицированному тесту Стьюдента показала отсутствие систематической погрешности.

Как видно из результатов (см. табл. 3), разработанные методики АЭС-ИСП анализа ферросплавов после микроволнового разложения в автоклавах позволяют определять все нормируемые элементы, характеризуются высокой прецизионностью и правильностью. Общая продолжительность анализа, включающая переведение пробы в раствор и определение методом АЭС-ИСП, по сравнению с применяемыми на практике методиками сокращается в три и шесть раз для феррованадия и феррониобия соответственно (табл. 4). Применение разработанной методики анализа феррониобия также позволяет проводить раздельное определение ниобия и tantalа.

Таким образом, разработанные методики могут быть рекомендованы для определения V, Si, Al, P, Mn, Cu, Cr в феррованадии и Nb, Si, Al, P, Ti, Ta, Sn — в феррониобии в нормируемых диапазонах концентраций.

## ЛИТЕРАТУРА

- Мизин В. Г. Ферросплавы. Справочник. — М.: Металлургия, 1992. — 413 с.
- Хайстеркамп Ф., Хулка К., Матросов Ю. Н. и др. Ниобийсодержащие низколегированные стали. — М.: Интермет инжиниринг, 1999. — 90 с.
- Голиков И. Н., Гольдштейн М. И., Мурзин И. И. Ванадий в ста-ли. — М.: Металлургия, 1996. — 291 с.
- Totten G. E. (ed.). Steel Heat Treatment: Metallurgy and Technologies. — Taylor and Francis Group, 2006. — 820 р.
- АМ 05757665-72-309-2009. МКХА феррованадия. Определение массовой доли алюминия, марганца, меди и кремния атомно-эмиссионным методом с индуктивно-связанной плазмой при входном контроле, ФР.1.31.2006.02926.
- АМ 05757665-072-359-2010. МКХА феррониобия. Определение массовых долей алюминия, кремния и титана атомно-эмиссионным методом с индуктивно-связанной плазмой при входном контроле, ФР.1.31.2011.09353.
- АМ 05757665-72-332-2009. МКХА феррованадия. Определение массовой доли ванадия титриметрическим методом при входном контроле, ФР.1.31.2009.05905.
- ГОСТ 15933.5-90. Феррониобий. Метод определения суммы ниобия и tantalа. — М.: Изд-во стандартов, 1990. — 6 с.
- ГОСТ 13217.5-90. Феррованадий. Метод определения фосфора. — М.: Изд-во стандартов, 1990. — 8 с.
- ГОСТ 15933.3-90. Феррониобий. Метод определения фосфора. — М.: Изд-во стандартов, 1990. — 6 с.
- ГОСТ 15933.14-70. Феррониобий. Метод определения содержания олова. — М.: Изд-во стандартов, 1970. — 5 с.
- ГОСТ 13217.8-90. Феррованадий. Метод определения хрома. — М.: Изд-во стандартов, 1990. — 8 с.
- Кубракова И. В., Торопченова Е. С. Микроволновая подготовка проб в геохимических и экологических исследованиях / Журн. аналит. химии. 2013. Т. 68. № 6. С. 524 – 534.
- Загвоздкина Т. Н., Караваев Ф. Н., Дворецков Р. М. и др. Определение кремния в алюминиевых сплавах методом АЭС-ИСП в сочетании с микроволновой подготовкой URL: <http://viam-works.ru/plugins/content/journal/uploads/articles/pdf/754.pdf>
- Тормышева Е. А., Смирнова Е. В., Ермолаева Т. Н. Микроволновая пробоподготовка наплавочных материалов для анализа методом атомно-эмиссионной спектроскопии с индуктивно-связанной плазмой / Заводская лаборатория. Диагностика материалов. 2010. Т. 76. № 10. С. 10 – 13.
- Якубенко Е. В., Войткова З. А., Черников И. И. и др. Микроволновая пробоподготовка для определения Si, P, V, Cr, Mn, Ni, Cu, W

**Таблица 4.** Продолжительность анализа ферросплавов по разработанным и стандартным методикам (при анализе пяти проб)

Образец	Определяемый элемент	Продолжительность анализа, ч		
		Стандартные методики	Разработанные методики	
FeV	V	8	26	8
	Si	6		
	Al			
	Mn			
	Cu			
	P	8		
FeNb	Cr	4		
	Nb + Ta	24	48	8
	Si	6		
	Al			
	Ti			
	P	8		
	Sn	10		

- методом АЭС-ИСП в конструкционных сталях / Заводская лаборатория. Диагностика материалов. 2014. Т. 80. № 1. С. 12 – 15.
17. Бабичева Е. А., Браккер Е. П., Кофанова Т. А. и др. Определение tantalа в сплавах на никелевой основе методом атомно-эмиссионной спектрометрии с индуктивно-связанной плазмой / Заводская лаборатория. Диагностика материалов. 2014. Т. 80. № 9. С. 26 – 27.
  18. Grebneva O. N., Kubrakova I. V., Kudinova T. F., et al. ICP-AES determination of trace elements in niobium, tantalum and their oxides after microwave-assisted dissolution / Spectrochim. Acta. Part B. 1997. Vol. 52. P. 1151 – 1159.
  19. Майорова А. В., Печишева Н. В., Шуняев К. Ю. и др. Разработка методики ИСП-АЭС определения вольфрама в ферровольфраме с использованием термодинамического моделирования / Аналитика и контроль. 2014. Т. 18. № 2. С. 136 – 149.
  20. Mermet J. M. Use of magnesium as a test element for inductively coupled plasma atomic emission spectrometry diagnostics / Anal. Chim. Acta. 1991. Vol. 250. P. 85 – 94.
  21. Дёрффель К. Статистика в аналитической химии. — М.: Мир, 1994. — 383 с.

## REFERENCES

1. Mizin V. G. Ferrosplavy. Spravochnik [Ferroalloys. Reference book]. — Moscow: Metallurgiya, 1992. — 413 p. [in Russian].
2. Khaisterkamp F., Khulka K., Matrosov Yu. N., et al. Niobiisoderzhashchie nizkolegirovannye stali [Niobium-containing low-alloy steel]. — Moscow: Intermet inzhimiring, 1999. — 90 p. [in Russian].
3. Golikov I. N., Gol'dshtein M. I., Murzin I. I. Vanadii v stali [Vanadium in steel]. — Moscow: Metallurgiya, 1996. — 291 p. [in Russian].
4. Totten G. E. (ed.). Steel Heat Treatment: Metallurgy and Technologies. — Taylor and Francis Group, 2006. — 820 p.
5. AM 05757665-72-309-2009. MKKhA ferrovanadiya. Opredelenie massovoi doli alyuminiiya, margantsa, medi i kremniya atomno-émissionnym metodom s induktivno-svyazannoi plazmoy pri vkhodnom kontrole [MQCA of ferrovanadium. Determination of the mass fraction of aluminum, manganese, copper and silicon by the atomic emission method with an inductively coupled plasma an input control], FR.1.31.2006.02926 [in Russian].
6. AM 05757665-072-359-2010. MKKhA ferroniobiya. Opredelenie massovikh dolei alyuminiiya, kremniya i titana atomno-émissionnym metodom s induktivno-svyazannoi plazmoy pri vkhodnom kontrole [MQCA ferroniobium. Determination of the mass fraction of aluminum, silicon and titanium by the atomic emission method with an inductively coupled plasma an input control], FR.1.31.2011.09353 [in Russian].
7. AM 05757665-72-332-2009. MKKhA ferrovanadiya. Opredelenie massovoi doli vanadiya titrimetricheskim metodom pri vkhodnom kontrole [MQCA ferrovanadium. Determination of the mass fraction of vanadium titrimetrically an input control], FR.1.31.2009.05905 [in Russian].
8. RF State Standard GOST 15933.5–90. Ferroniobii. Metod opredeleniya summy niobiya i tantal'a [Ferroniobium. The method of determining the amount of niobium and tantalum]. — Moscow: Izd. standartov, 1990. — 6 p. [in Russian].
9. RF State Standard GOST 13217.5–90. Ferrovanadii. Metod opredeleniya fosfora [Ferrovaniadum. Method for determination of phosphorus]. — Moscow: Izd. standartov, 1990. — 8 p. [in Russian].
10. RF State Standard GOST 15933.3–90. Ferroniobi. Metod opredeleniya fosfora [Ferroniobium. Method for determination of phosphorus]. — Moscow: Izd. standartov, 1990. — 6 p. [in Russian].
11. RF State Standard GOST 15933.14–70. Ferroniobi. Metod opredeleniya soderzhaniya olova [Ferroniobium. Method for the determination of tin content]. — Moscow: Izd. standartov, 1970. — 5 p. [in Russian].
12. RF State Standard GOST 13217.8–90. Ferrovanadii. Metod opredeleniya khroma [Ferrovaniadum. Method for determination of chromium]. — Moscow: Izd. standartov, 1990. — 8 p. [in Russian].
13. Kubrakova I. V., Toropchenova E. S. Microwave sample preparation for geochemical and ecological / J. Anal. Chem. 2013. Vol. 68. N 6. P. 467 – 476.
14. Zagvozdchina T. N., Karachevtsev F. N., Dvoretskov R. M., et al. Opredelenie kremniya v alyuminievykh splavakh metodom AÉS-ISP v sochetanii s mikrovolnovoi podgotovkoj [Determination of silicon in aluminum alloys by ICP-AES combined with microwave preparation]. <http://viam-works.ru/plugins/content/journal/uploads/articles/pdf/754.pdf>
15. Tormysheva E. A., Smirnova E. V., Ermolaeva T. N. Microwave sample preparation of facing materials for analysis using the method of atomic emission spectroscopy with inductively coupled plasma / Inorg. Mater. 2011. Vol. 47. N 15. P. 1623 – 1626.
16. Yakubenko E. V., Voitkova Z. A., Chernikova I. I., et al. Microwave sample preparation for detection of Si, P, V, Cr, Mn, Ni, Cu and W using inductively coupled plasma atomic emission spectrometry in engineering steels / Inorg. Mater. 2015. Vol. 51. N 14. P. 1370 – 1374.
17. Babicheva E. A., Brakker E. P., Kofanova T. A., et al. Opredelenie tantal'a v splavakh na nikel'evoi osnove metodom atomno-émissionnoi spektrometrii s induktivno-svyazannoi plazmoy [Determination of tantalum in nickel-based alloys by atomic emission spectrometry with inductively coupled plasma] / Zavod. Lab. Diagn. Mater. 2014. Vol. 80. N 9. P. 26 – 27 [in Russian].
18. Grebneva O. N., Kubrakova I. V., Kudinova T. F., et al. ICP-AES determination of trace elements in niobium, tantalum and their oxides after microwave-assisted dissolution / Spectrochim. Acta. Part B. 1997. Vol. 52. P. 1151 – 1159.
19. Maiorova A. V., Pechishcheva N. V., Shunyaev K. Yu., et al. Razrabotka metodiki ISP-AÉS opredeleniya vol'frama v ferrovol'frame s ispol'zovaniem termodinamicheskogo modelirovaniya [Development of the tungsten icp-aes determination in ferrotungsten procedure using thermodynamic modeling] / Analit. Kontrol'. 2014. Vol. 18. N 2. P. 136 – 149 [in Russian].
20. Mermet J. M. Use of magnesium as a test element for inductively coupled plasma atomic emission spectrometry diagnostics / Anal. Chim. Acta. 1991. Vol. 250. P. 85 – 94.
21. Dörffel K. Statistika v analiticheskoi khimii [Statistics in analytical chemistry]. — Moscow: Mir, 1994. — 383 p. [Russian translation].